

## · 病例报告 ·

# 易误诊的老年复发脂肪肉瘤一例并文献复习

郭小冬<sup>1,2</sup>,王环环<sup>1,2</sup>,何倩倩<sup>1,2</sup>,陈哲宇<sup>1</sup>,姬善忠<sup>1</sup>,马迎春<sup>1</sup>,马建武<sup>1</sup>,杨艳丽<sup>1,2\*</sup>

(<sup>1</sup>中国人民解放军联勤保障部队第940医院病理科,兰州 730000;<sup>2</sup>甘肃中医药大学第一临床医学院,兰州 730000)

【关键词】 老年人;腹膜后肿瘤;脂肪肉瘤;非典型脂肪瘤样肿瘤/高分化型脂肪肉瘤;临床病理特征

【中图分类号】 R592,R730.262

【文献标志码】 B

【DOI】 10.11915/j.issn.1671-5403.2025.04.062

## 1 临床资料

患者女性,66岁,2017年7月无明显诱因发现左下腹一大约5 cm×5 cm质硬包块,伴小便不畅,入院行盆腔核磁示:左侧中下腹L4~5椎体水平腰大肌前方占位。CT示:左肾下方、腰大肌前缘旁团块影并周围多发钙化小结节,多考虑良性病变。遂行腹腔肿物切除术,术后3个月肿瘤复发,B超提示左肾下极肾包膜下探及范围约5.9 cm×3.7 cm的低回声,再次行左肾及左肾下方腹膜后肿瘤切除术。2024年3月患者因“下腹部疼痛伴尿急、尿不尽10 d”入院,CT示:左肾缺如,左侧腹膜后脊柱旁见混杂密度肿块影,大小约7.6 cm×9.8 cm×13.0 cm,其内见液化坏死低密度区及多发片状高密度钙化影。

病理检查:第1次术后送检为灰红色肿物1块,体积7.0 cm×6.5 cm×5.5 cm,切面灰白色,质硬如骨。经充分取材后,镜下多为增生的胶原化纤维组织,细胞稀少,形态温和,并可见较多成熟骨小梁及软骨(图1),结合免疫组化结果倾向于纤维骨性假瘤。第2次术后大体见肾下极被膜外粘连一灰白色结节,大小6.0 cm×4.5 cm×3.5 cm,表面大部分光滑,境界清楚。镜下见硬化、纤维背景及黏液样区域多成分混合,并可见非典型梭形细胞密集区域,经充分取材后未见明确脂肪及脂肪母细胞成分。免疫表型不典型,考虑高分化脂肪肉瘤伴去分化可能性大。第3次手术腹壁肿物为灰白、灰红色结节状组织1块,体积5.5 cm×4.0 cm×2.0 cm,切面灰红、实性、质韧。左侧腹膜后肿瘤为灰褐、灰红色结节状组织1块,体积12.5 cm×7.5 cm×5.8 cm。切面灰白色,质中,部分质硬如骨,局灶见一直径4 cm的囊腔;另见骨组织2块,体积6.0 cm×4.8 cm×2.0 cm。右侧腹膜后肿物为灰褐色结节状组织1块,体积1.2 cm×1.0 cm×0.6 cm。镜下观察:腹壁肿物与第1次手术肿物形态类似;左侧腹膜后肿瘤大部分区域为弥漫增生的梭形及卵圆形细胞,瘤细胞异型性大,核仁明显,部分可见骨及不成熟软骨分化区域;仅右侧腹膜后肿物见脂肪和多空泡脂肪母细胞(图2)。免疫组化结果:左侧腹膜后及腹壁肿物除波形蛋白(Vimentin)(+),交配型转换/蔗糖不发酵相关的、基质相关的、肌动蛋白依赖的染色质调节因子A亚家族成员4(switch/sucrose non-fermentable related, matrix associated, actin dependent regulator of chromatin, subfamily A, member 4, SMARCA4)(+)外,其余指标均为阴性。右侧腹膜

后肿物中脂肪所在区域Vimentin(+),SMARCA4(+),S100蛋白(+),P16蛋白(+),鼠双微体基因2(murine double minute 2,MDM2)(+),分化簇34(cluster of differentiation 34, CD34)(-),Ki67增殖指数约60%(图3)。左侧腹膜后及腹壁肿物行分子检测:荧光原位杂交(fluorescence in situ hybridization,FISH)检测显示伴有MDM2基因扩增。诊断:高分化脂肪肉瘤伴去分化,部分区域骨及软骨分化。

## 2 讨 论

脂肪肉瘤是最常见的软组织肉瘤,约占成人所有软组织恶性肿瘤的20%,好发于中老年人下肢深部软组织,如大腿、臀部以及腹膜后<sup>[1]</sup>,易累及周围器官,影响中老年患者的预后。根据2020年世界卫生组织(World Health Organization,WHO)软组织与骨肿瘤分类,脂肪肉瘤分为5种亚型:非典型脂肪瘤样肿瘤/高分化型(atypical lipomatous tumor/well-differentiated liposarcoma, ALT/WDLPS)、去分化型(dedifferentiated liposarcoma,DDLPS)、黏液样、多形性以及黏液样多形性脂肪肉瘤。WDLPS是脂肪肉瘤最常见的亚型,占30%~40%,其可进一步细分为脂肪细胞型(脂肪瘤样)、硬化型和炎症亚型<sup>[2]</sup>。约10%的WDLPS复发病例可以转化

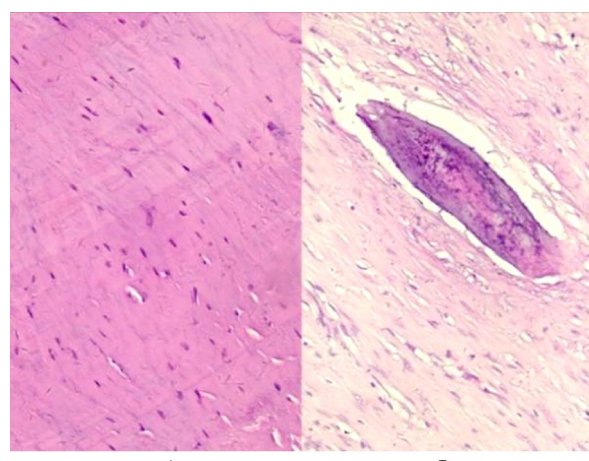


图1 患者首次术后病理结果

Figure1 Pathological results of the patient after first operation (HE ×100)

A: area of collagen sclerosis; B: area of mature trabecular bone formation.

收稿日期:2024-06-25;接受日期:2024-09-13

基金项目:甘肃省科技计划项目(22JR5RA022);中国人民解放军联勤保障部队第940医院院内课题(2021yxky049)

通信作者:杨艳丽, E-mail: a06974723@163.com

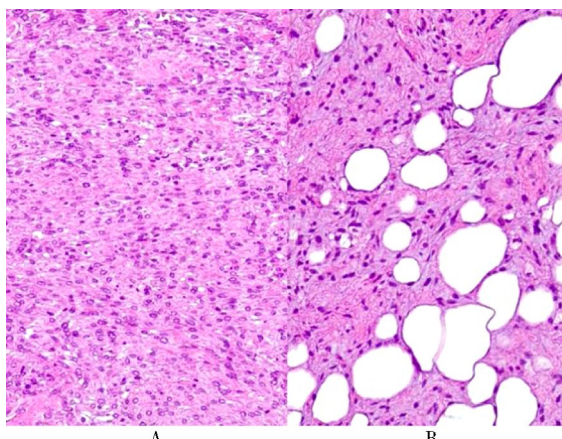


图2 患者第3次术后病理结果

Figure 2 Pathological results of the patient after third operation (HE  $\times 100$ )

A: area of diffusely proliferating spindle-shaped and oval cells with significant atypia and obvious nucleoli; B: area of multivacuolated lipoblasts and stromal cells with distinctly hyperchromatic nuclei.

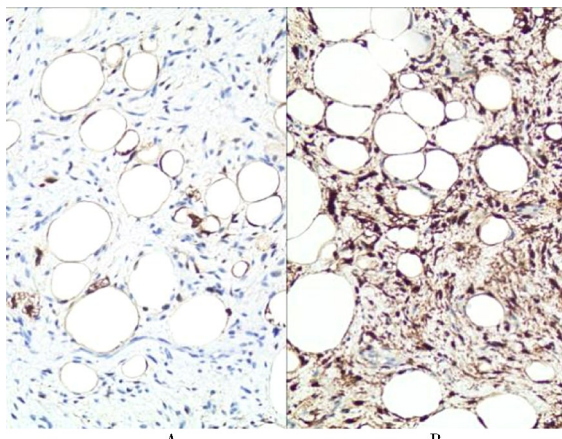


图3 免疫组化染色结果

Figure 3 Results of immunohistochemical staining (EnVision  $\times 100$ )

A: positive S100 staining; B: strongly positive P16 staining.

为DDLPS,上述肿瘤往往具有恶性程度高、局部频繁复发、易转移的临床特点<sup>[3]</sup>。此外,WDLPS和DDLPS都存在MDM2和细胞同期依赖性激酶4(cyclin-dependent kinase4, CDK4)的扩增<sup>[4]</sup>,因此利用FISH分子检测MDM2表达情况通常作为辅助确诊手段<sup>[5]</sup>。

复习该患者既往病理切片,初次手术标本大部分为增生的胶原及纤维组织,可见较多成熟骨小梁及软骨成分。由于缺乏特征性脂肪成分及多空泡脂母细胞,且免疫表型不典型,此时极易误诊。结合文献报道,在WDLPS中硬化亚型与该患者情况相似,即肿物存在大部分间质致密纤维化区域,掩盖了其脂肪来源性质<sup>[6]</sup>,部分可以观察到骨形成等其他特征<sup>[7]</sup>。再次复发手术标本中,可见非典型梭形细胞,但仍未见典型脂肪成分和多空泡脂母细胞,且相关免疫组化染色依旧为阴性,但Ki67增殖指数约60%,提示去分化。第3次复发手术标本充分取材后,仅见约1.2cm脂肪成分及多空泡脂肪母细胞。部分区域瘤细胞密集,异型性显著,核大深染,易见病理性核分裂象,结合免疫组化染色结果S100蛋白(+),P16蛋白(+),MDM2(+),FISH检测显示伴有MDM2基因扩

增,诊断高分化脂肪肉瘤伴去分化。有学者研究发现硬化型WDLPS可能与去分化倾向增加有关<sup>[8]</sup>。国内与本例患者情况相似的报道较少,本文旨在提高对免疫表型及病理形态不典型WDLPS的认识,以防误诊漏诊。

综上,脂肪肉瘤的首选治疗方法是大范围手术切除<sup>[9]</sup>,放化疗与手术联合适用于不可切除、晚期或出现转移的患者,不作为首选方案<sup>[10]</sup>。WDLPS经治疗后,5年和10年生存率分别为100.0%和82.1%<sup>[11]</sup>。研究者发现,轻度硬化型(含较多脂肪细胞)WDLPS表现出较少的恶性行为,而脂肪细胞含量较少的重度硬化型WDLPS因更紧靠附近组织,导致很难实现切缘阴性,从而更易复发或转移<sup>[12]</sup>。此外,Keung等<sup>[13]</sup>发现,具有细胞增多区域、黏液样背景、硬化和伴去分化等特征的WDLPS更具侵袭性,预后更差,如出现上述特征应密切复查。本例患者术后复发两次,患者拒绝全身静脉化疗,仅口服卡博替尼分子靶向药物抗肿瘤。目前本例患者术后生存情况良好,继续长期随访观察。

## 【参考文献】

- Pontes FSC, de Souza LL, Vulcão ÉNC, et al. Liposarcoma of oral cavity: systematic review of cases reported to date and analysis of prognostic factors [J]. Head Neck, 2020, 42(9): 2626–2634. DOI: 10.1002/hed.26160.
- Sbaraglia M, Bellan E, Dei Tos AP. The 2020 WHO classification of soft tissue tumours: news and perspectives [J]. Pathologica, 2021, 113(2): 70–84. DOI: 10.32074/1591-951X-213.
- Corona K, Ali SR, Rossi N, et al. Surgical management of a large well-differentiated liposarcoma in the supraclavicular fossa: a case report [J]. Ear Nose Throat J, 2024, 1455613241237078. DOI: 10.1177/01455613241237078.
- Tanabe M, Yoshikawa H, Fukushima M, et al. A case of primary orbital liposarcoma with dedifferentiated transformation from a well-differentiated form [J]. Am J Ophthalmol Case Rep, 2024, 33: 101983. DOI: 10.1016/j.ajoc.2023.101983.
- Sciot R. MDM2 amplified sarcomas: a literature review [J]. Diagnostics (Basel), 2021, 11(3): 496. DOI: 10.3390/diagnostics11030496.
- Suster S, Morrison C. Sclerosing poorly differentiated liposarcoma: clinicopathological, immunohistochemical and molecular analysis of a distinct morphological subtype of lipomatous tumour of soft tissue [J]. Histopathology, 2008, 52(3): 283–293. DOI: 10.1111/j.1365-2559.2007.02936.x.
- Yoshida A, Ushiku T, Motoi T, et al. Well-differentiated liposarcoma with low-grade osteosarcomatous component: an underrecognized variant [J]. Am J Surg Pathol, 2010, 34(9): 1361–1366. DOI: 10.1097/PAS.0b013e3181ebcc45.
- Bestic JM, Kransdorf MJ, White LM, et al. Sclerosing variant of well-differentiated liposarcoma: relative prevalence and spectrum of CT and MRI features [J]. AJR Am J Roentgenol, 2013, 201(1): 154–161. DOI: 10.2214/AJR.12.9462.
- Laurino L, Furlanetto A, Orvieto E, et al. Well-differentiated liposarcoma (atypical lipomatous tumors) [J]. Semin Diagn Pathol, 2001, 18(4): 258–262.
- Schoffski P. Established and experimental systemic treatment options for advanced liposarcoma [J]. Oncol Res Treat, 2022, 45(9): 525–543. DOI: 10.1159/000524939.
- Knebel C, Lenze U, Pohlig F, et al. Prognostic factors and outcome of liposarcoma patients: a retrospective evaluation over 15 years [J]. BMC Cancer, 2017, 17(1): 410. DOI: 10.1186/s12885-017-3398-y.
- Chrisinger JSA, Al-Zaid T, Keung EZ, et al. The degree of sclerosis is associated with prognosis in well-differentiated liposarcoma of the retroperitoneum [J]. J Surg Oncol, 2019, 120(3): 382–388. DOI: 10.1002/jso.25585.
- Keung EZ, Ikoma N, Benjamin R, et al. The clinical behavior of well differentiated liposarcoma can be extremely variable: a retrospective cohort study at a major sarcoma center [J]. J Surg Oncol, 2018, 117(8): 1799–1805. DOI: 10.1002/jso.25082.

(编辑: 郑真真)